

北海道開発庁 ○正会員 清田 信一
 東京都立大学 正会員 野上 邦栄
 東京都立大学 正会員 伊藤 文人

1. はじめに 本報告は、曲げと軸圧縮の作用を受けるはり一柱において、残留応力と初期曲りの影響を考慮し、最近注目を集めている川井氏らの新しい離散化モデルと参考にLF有限剛体要素モデルを用いての塑性有限変形計算による耐荷力解析を行ない、この結果より、從来設計に対して広く用いられているはり一柱の相関式に対する検討を試みたものである。

2. はり一柱の相関式 軸端モーメント M_1, M_2 ($|M_1| > |M_2|$) と軸圧縮力 P の作用を受けるはり一柱の令定照査は、一般に次式で行なわれる。²⁾ (1)式が、はり一柱の相関式である。(a)

$$\frac{P}{P_{cr}} + \frac{C_x M_1}{M_p(1 - P/P_E)} \leq 1 \quad \dots (1), \quad \frac{P}{P_g} + \frac{M_1}{M_p} \leq 1 \quad \dots (2)$$

なおここで、 P_{cr} :限界軸圧縮力、 P_E :柱一端座屈荷重、 P_g :降伏荷重、 M_p :全塑性モーメントであり、 C_x :モーメント換算係数で $C_x = 0.6 + 0.4X \geq 0.4$ $\dots (3)$ ($X = M_2/M_1$) で与えられる。(1)式は、本来 Fig. 1 の(a)に示す單純支持柱たるはり一柱に対して用いられるものである。しかし、実際には支点の相対側方変位が許される場合にも拡張して使用される。この場合特に問題にならうのが(i)端モーメントの計算を微小変形理論で行なうのか。(ii) P_{cr} と P_E の計算に対して、有効座屈長はどのようにするかを採用すれば良いのか。という事である。この2点を明らかにするため、Fig. 1 の(b)に示すよう柱一端固定、他端自由で、自由端に軸圧縮力 P 、水平方向力 Q 、端モーメント M_2 が作用するモデルを考えた。

3. 有限剛体要素モデルによる解析 Fig. 1 の(b)の耐荷力解析には、Fig. 1(c)に示すような部材を有限個の剛体要素に分割し、各剛体要素間を伸縮ばねと回転ばねで連結した有限剛体要素モデルを用いた。又非弾塑性非線形に対しては Newton-Raphson 法、材料非線形に対しては増分法を用いて解析を行なった。初期曲りは正弦波/波長分を用い、又材料は完全塑性体とし、断面形状、残留応力分布は Fig. 2 に示すものを用いた。本モデルにより柱の耐荷力解析を行ない、ヨーロッパ鋼構造協会の座屈耐荷力曲線(ECCS)との比較を行なったものを Fig. 3 に示す。非常に良い一致がみられ、本モデルの精度の確信を得た。なお有限剛体要素モデルによる解析方法の詳しい内容については文献(3)を参照されたい。

4. 解析結果 Fig. 1 の(b)において、固定端の反カモーメントを M_1 とすれば、 M_1 を微小変形理論に基づいて計算した場合、 $M_1 = M_2 + Q \cdot L \dots (4)$ となる。一方、この系に対して有限変形理論 [$y''' + \lambda^2 y'' = 0 \dots (5)$] を基づいて計算した場合、 $M_1 = M_2 / \cos \lambda L + Q \cdot \tan \lambda L / \lambda \dots (6)$ 、 $\lambda^2 = P/EI$ となる。こうに初期曲りとしての振幅

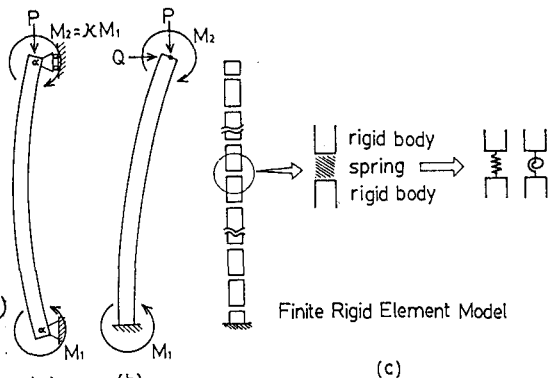
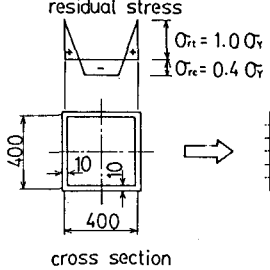


Fig. 1 Finite Rigid Element Model

(c)

Fig. 1



cross section

Fig. 2

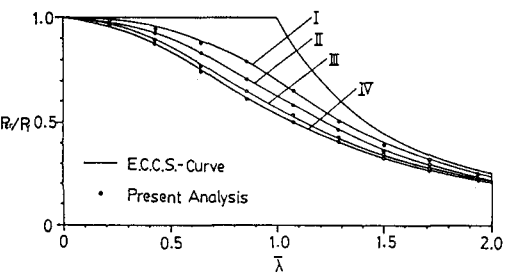


Fig. 3

a の正弦波 $1/4$ 波長を導入すると (6) 式は次式に書き換えられる。ここで L は節杆長である。

$M_1 = M_2 / \cos \lambda L + Q \tan \lambda L / \lambda + P A / [1 - 4(P/P_E)] \dots (7)$ 又 (1) 式において、 P_{cr} に用いる有効座屈長を L_1 、 P_E に対して L_2 とする。Fig. 4～8 には、有限剛体要素モデルによる耐荷力解析により求めた限界の P - M 曲線を $X = -1, -0.5, 0, 0.5, 1.0$ の場合について示してある。又 L_1 と L_2 に各々 L と $2L$ を組み合わせて用い、 M_1 の計算には、(4), (6), (7) 式のいずれかを用い、さらに P_{cr} には、道路橋示方書の座屈基準耐荷力曲線の式を用いて (1) 式及び (2) 式に代入し、逐次計算を行ない限界の P - M 曲線を求めた結果を破線で示す。

Fig. 4 には、微小変形理論の計算に

よる M_1 を用い、 $L_1 = L_2 = 2L$, $C_x = 0.85$ とした場合の限界曲線を一点鋼線で示す。この場合、十分安全側の結果を与えるが、有限変形理論で、 $L_1 = L_2 = L$ 、換算係数 C_x に (3) 式を用いた限界曲線は、 M_1 が零に近い領域で危険側となる。Fig. 5 は有限変形理論によるモーメント (6) 式を用い、 $L_1 = 2L$, $L_2 = L$ を用いた場合の結果を示している。又 Fig. 8 は Fig. 5 と同様であるがモーメントに初期曲りを考慮した (7) 式を用いた場合である。

Fig. 6 は、有効座屈長を $L_1 = L_2 = 2L$ とした場合で、全ての曲線に対して極度の安全側の結果を示している。Fig. 7 は、微小変形理論による M_1 を用い、換算係数に (3) 式を用いた場合を示している。今回の解析の範囲では、有限変形理論により確モーメントを計算し、 $L_1 = 2L$, $L_2 = L$ とした場合と、微小変形理論で確モーメントを計算し、 $L_1 = L_2 = 2L$ とした場合が良好な結果を与えることが明らかとなつた。

以上の結果より、部材端の側方変位を許すはり一柱に対して、はり一柱の組合式を用いる場合、微小変形理論で部材端モーメントを算定する場合には、有効座屈長は、 P_{cr}, P_E のいずれに対しても、その系の弹性固有値に対応する有効座屈長を用い、有限変形理論により部材端モーメントを算定する場合には、 P_{cr} に対しては、弹性固有値に対する有効座屈長を用い、 P_E には、部材長そのものを用いるのが妥当である。又モーメント換算係数には Austin の (3) 式を適用しても実用上、反障がないものと思われる。

文献 1) 川井：「固体力学の離散化法限界解析」：生研セミテキスト 556 2) 土木学会：「吊橋主塔設計基準（第 5 版）」K. Nagomi and F. Itoh; F.R.E.M.; Tokyo Metropolitan University 556

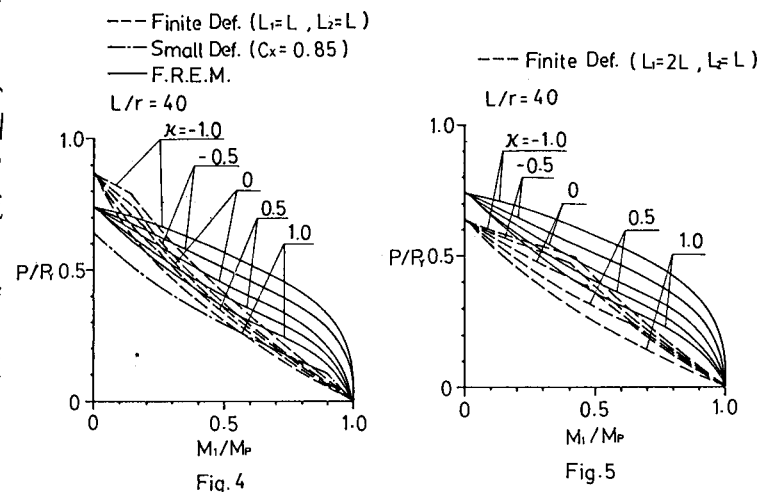


Fig. 4 --- Finite Def. ($L_1=L$, $L_2=L$)
--- Small Def. ($C_x=0.85$)

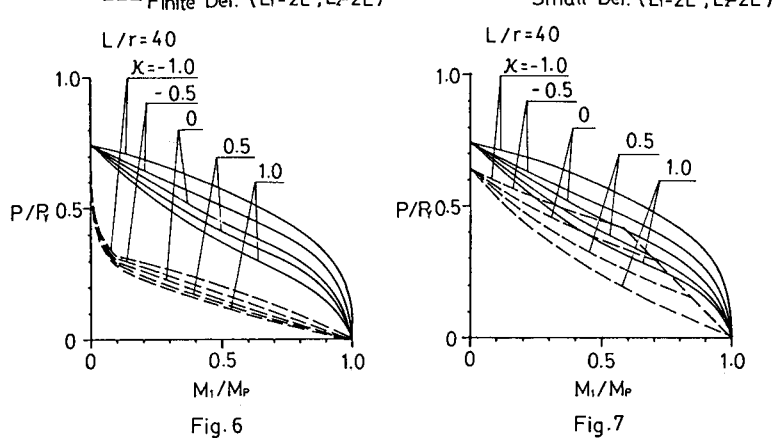


Fig. 5 --- Finite Def. ($L_1=2L$, $L_2=L$)
--- Small Def. ($C_x=0.85$)

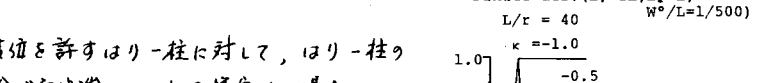


Fig. 6 --- Finite Def. ($L_1=2L$, $L_2=L$)
--- Small Def. ($C_x=0.85$)

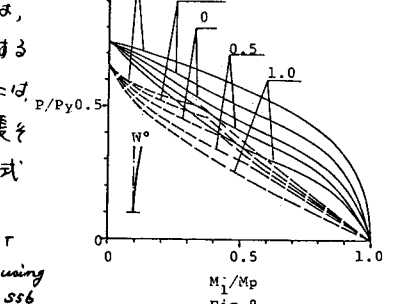


Fig. 7 --- Finite def. ($L_1=2L$, $L_2=L$, $W^o/L=1/500$)